

УДК 532.546+539.4:539.214

© 2003 г. С. М. КАПУСТЯНСКИЙ, В. Н. НИКОЛАЕВСКИЙ, И. Г. ШМИДТ

## УПРУГОПЛАСТИЧЕСКАЯ МОДЕЛЬ НАГНЕТАНИЯ ШЛАМА В СЛАБЫЙ ВОДОНАПОРНЫЙ ПЛАСТ

Нагнетание шлама – смеси воды и твердых частиц (обломков дробления горных пород при бурении) – интерпретируется как внедрение пластической массы в упругопластический водоносный горизонт под воздействием высоких градиентов порового давления. Сформулирована система упругопластического деформирования насыщенной пористой среды, описывающая процессы нагнетания как в песчаном пласте, так и в зоне, заполненной шламом. Рассмотрена осесимметричная автомодельная задача, подразумевающая фронтально устойчивое вытеснение песка шламом. Выбранный интервал изменения переменных и полученные результаты соответствуют полевым экспериментальным данным.

**Ключевые слова:** пористость, напорные течения, дилатансия, захоронение, пластины, экология.

В 1995–1997 г. на Аляске в течение 2 лет была проведена грандиозная работа по сбросу в артезианский пласт отходов бурения (мерзлой глины, фрагментов дробления горных пород), превращенных в шлам после растворения морской водой. Сброс шлама проводился через одну скважину нагнетания [1]. Всего было сброшено 340 тысяч тонн твердотельных отходов, что может служить образцом решения экологической проблемы.

Вместе с тем на этапе указанной публикации выдвигались гипотезы, что масса отходов попала в трещины сопутствующего гидроразрыва или же в форме мелких частиц внедрилась в поры песчаного пласта. В предлагаемой статье выдвигается другая версия – сброс отходов стал возможен за счет фронтального пластического вытеснения массы песка шламом в самом артезианском горизонте под действием градиента порового давления фильтрующейся воды. Задача о работе индивидуальной скважины в этих условиях оказалась автомодельной, что позволило построить ее решение путем интегрирования системы обыкновенных дифференциальных уравнений.

**1. Система уравнений процесса.** Прежде всего составляются балансы масс воды и твердой фазы (матрицы пласта)

$$\frac{\partial}{\partial t}(m\rho_f) + \frac{1}{r}\frac{\partial}{\partial r}(r\rho_f mw) = 0 \quad (1.1)$$

$$\frac{\partial}{\partial t}(1-m)\rho_s + \frac{1}{r}\frac{\partial}{\partial r}(r\rho_s(1-m)v) = 0 \quad (1.2)$$

Здесь  $m$  – пористость (объемная концентрация воды),  $w$ ,  $v$  – "истинные" кинематически измеряемые скорости воды и твердых частиц по радиусу,  $\rho_f$ ,  $\rho_s$  – их плотности.

Закон Дарси определяет вязкое сопротивление потоку воды сквозь движущуюся твердую матрицу

$$m(w - v) = -\frac{k \partial p}{\mu \partial r} \quad (1.3)$$

где  $k$  – проницаемость,  $\mu$  – вязкость воды. Присутствие скорости матрицы в (1.3) принципиально необходимо для решения задачи о нагнетании шлама в пласт.

Уравнение равновесия матрицы имеет обычный [2, 3] вид

$$\frac{\partial \sigma_r}{\partial r} + \frac{\sigma_r - \sigma_\theta}{r} - \frac{\partial p}{\partial r} = 0 \quad (1.4)$$

Здесь используются эффективные напряжения по Терцаги [4] и поровое давление  $p$ , причем  $\Gamma_{ij} = \sigma_{ij} - p\delta_{ij}$  – полное (горное) напряжение,  $\delta_{ij}$  – единичный тензор.

Матрица (начальная пластина или же упакованного шлама) может течь пластически, если выполняется условие пластичности

$$(\sigma_r - \sigma_\theta)\theta_\sigma = -\alpha(\sigma_r + \sigma_\theta) + Y \quad (1.5)$$

В ходе уплотнения шлама его сцепление  $Y$  растет, но за счет расходящегося типа течения его пористость затем может увеличиваться, а следовательно, будет уменьшаться и сцепление. Впрочем, из-за отсутствия соответствующих данных измерений этим эффектом пренебрежем.

Условие (2.5) выполнено на упругопластической границе, где геоматериал переходит в состояние пластического течения, а потому коэффициенты трения и сцепление  $\alpha$ ,  $Y$  меняются (как и пористость) мгновенно. Последующие изменения этих параметров в ходе пластического течения происходят непрерывным образом.

Разрешив условие (1.5) относительно  $\sigma_\theta$ , преобразуем уравнение равновесия (1.4) к более удобному виду

$$\sigma_\theta = N\sigma_r - Y_0, \quad N = \frac{\theta_\sigma + \alpha}{\theta_\sigma - \alpha}, \quad Y_0 = \frac{Y}{\theta_\sigma - \alpha} \quad (1.6)$$

$$\frac{\partial \sigma_r}{\partial r} - \frac{(N-1)\sigma_r - Y_0}{r} - \frac{\partial p}{\partial r} = 0 \quad (1.7)$$

причем  $Y_0$  и  $N$  могут изменяться в процессе вытеснения песка нагнетаемым шламом.

Пористость меняется непрерывно в соответствии с дилатационной зависимостью пластических приращений объема и сдвига матрицы которая в скоростях смещений представляется как дифференциальное уравнение

$$\frac{\partial v}{\partial r} + \frac{v}{r} = \Lambda\theta\left(\frac{\partial v}{\partial r} - \frac{v}{r}\right), \quad \theta = \text{sign}\left(\frac{\partial v}{\partial r} - \frac{v}{r}\right) \quad (1.8)$$

Здесь  $\Lambda$  – скорость дилатансии, и введен знак направления сдвига, совпадающий со знаком действия касательных усилий:  $\theta_\sigma = \text{sign}(\sigma_r - \sigma_\theta)$ . Указанное совпадение отвечает коаксиальности тензоров напряжений и скоростей пластических деформаций, что эквивалентно положительной диссипации работы в ходе пластического деформирования (течения).

Наконец, применение уравнения (1.8) означает, что внутри зоны пластического течения нет существенных упругих деформаций.

Напомним, что дилатационное кинематическое уравнение играет роль второго условия – помимо условия текучести Мора – Кулона (2.5), которое необходимо для определяющих законов пластичности геоматериалов. Физически механизм дилатансии объясняется переупаковкой контактирующих жестких зерен – изменение объема упаковки возможно только при одновременном сдвиге.

При изостатическом обжатии возможен [5] и иной механизм необратимого деформирования – за счет дробления зерен. Здесь будем им пренебрегать.

Используемая система замкнута, если известны связи плотностей фаз с их давлениями, проницаемости – с пористостью и напряжением, коэффициента сухого трения, сцепления и скорости дилатансии – с пористостью [2, 3].

Уравнение равновесия (1.4) должно быть дополнено обобщенным законом Гука в упругой (внешней) зоне, где  $K, G$  – упругие модули матрицы (объема и сдвига),  $\epsilon = \beta K$ ,  $\beta$  – сжимаемость зерен (кварца),  $e$  и  $e_{ij}$  – объемная деформация и компоненты деформаций

$$\sigma_{ij} = (K - 2/3G)e_{ij} + 2Ge_{ij} + \epsilon p\delta_{ij} \quad (1.9)$$

Форма записи (1.9) использует эффективные напряжения Терцаги, что позволяет [2, 3] независимо измерять параметры  $K, G$  и  $\beta$ .

**2. Нестационарная задача нагнетания.** Первоначально пластическая зона локализована у точки нагнетания (скважины), но за счет высоких перепадов порового давления она интенсивно растет во времени, перемещаясь во внешнюю, упругую, зону. Кроме того, происходит процесс физического внедрения в пласт самого шлама, что приводит к смене песчаной матрицы на гравийную. Подчеркнем, что упругопластическая граница отнюдь не совпадает с границей смены материала.

Предположим, что во всей зоне  $a(t) \leq r \leq b(t)$  внедренного гравия (матрицы шлама) происходит пластическое течение. Здесь  $a(t)$  – радиус каверны, возникающей в процессе нагнетания, а  $b(t)$  – радиус фронта вытеснения песка гравием. Что касается упругопластической границы  $c(t)$ , то она движется именно по песчаной массе, которая предполагается более слабой по сравнению с обжатой гравийной матрицей шлама.

Радиус  $a(t)$  определяется обращением в нуль эффективного напряжения  $\sigma_r = 0$  и заданием порового давления нагнетания  $p_a$ . Первое условие означает, что каверна радиуса  $a(t)$  заполнена шламом в виде суспензии и на этом радиусе происходит переход последней в состояние твердой матрицы. Из второго следует, что радиус каверны является эффективным контуром нагнетания.

Однако пробный расчет показал, что удобнее задаваться расходами обоих фаз  $Q_f$  и  $Q_s$ , но не давлением нагнетания.

Радиус внедрения шлама  $b(t)$  находится из балансов масс и условия вытеснения (равенства фронтальных скоростей твердой фазы). Положение упругопластической границы  $c(t)$  определяется условием пластичности (1.6).

Постоянные расходы твердой и жидкой фазы  $Q_f$  и  $Q_s$  заданы в особой точке нагнетания. Это означает, что реальный радиус скважины пренебрежимо мал по сравнению с масштабами воздействия его на пласт. В соответствии с уравнениями (1.1) и (1.2) для массовых потоков имеем

$$\begin{aligned} A_f &= -2\pi rh\rho_f(p)w(r)m_r = \rho_f(p)Q_f \quad (r \rightarrow 0) \\ A_s &= -2\pi rh\rho_s v(r)(1-m_r) = \rho_s Q_s \quad (r \rightarrow 0) \end{aligned} \quad (2.1)$$

Сомножители  $rw$  и  $r\nu$  пропорциональны величине  $r\partial p/\partial r$  и сохраняют свои конечные значения при предельном переходе  $r \rightarrow 0$ . Все остальные сомножители также конечны. Поэтому потоки масс  $A_j$  и объемные расходы  $Q_j$  являются параметрами точечного источника, находящегося в начале системы координат. Нагнетание соответствует отрицательным значениям  $Q_j$ . Тогда скорости смещений будут положительны и направлены в сторону роста радиальной координаты.

На фронте вытеснения песка  $b(t)$  следует сформулировать условия баланса масс для обеих фаз (их плотности предполагаются постоянными) и непрерывности радиальных усилий

$$\left[ m \left( w - \frac{db}{dt} \right) \right] = 0, \quad \left[ (1-m) \left( v - \frac{db}{dt} \right) \right] = 0 \quad (2.2)$$

$$[\sigma_r] = 0 \quad [p] = 0 \quad (2.3)$$

Условие вытеснения определяется равенством фронтальной скорости и скорости самой твердой фазы:  $v = db/dt$ , что означает тождественное выполнение второго уравнения (3.2), тогда как первое принимает следующий вид

$$[m(w - v)] = \left[ -\left( \frac{k}{\mu} \right) \frac{dp}{dr} \right] = 0 \quad (2.4)$$

На внешней упругопластической границе  $r = c(t)$ , определяемой предельным условием (1.5), вводятся дополнительные условия непрерывности скоростей смещений и радиальных усилий

$$\left[ (1-m) \left( v - \frac{dc}{dt} \right) \right] = 0, \quad [\sigma_r] = 0, \quad r = c(t) \quad (2.5)$$

На бесконечности ( $r/a \rightarrow \infty$ ) и в начальный момент времени, по предположению, выполнены одинаковые условия

$$m = m_0, \quad p = p_0, \quad \sigma_r = -(P - p_0) \quad P = -\Gamma_r \quad (2.6)$$

Если одно и то же предельное условие (1.5) используется и как критерий разрушения геоматериала, и как условие текучести разрушенного материала внутри зоны пластичности, то окружные напряжения будут непрерывны. (В рассматриваемом случае условие (1.5) применено с обеих сторон от границы  $r = c(t)$ , но только из-за отсутствия данных о трении в ходе пластического течения шлама.)

Внутри пластической зоны уравнение равновесия в форме (1.7) и дилатансионная связь (1.8) выполняются одновременно. Закон Дарси (1.3) справедлив и в упругой, и в пластической зонах.

В упругой зоне уравнение баланса сил представляется в ином виде [6]

$$\frac{\partial \sigma_r}{\partial r} + \frac{2G}{r} \left( \frac{\partial u}{\partial r} - \frac{u}{r} \right) - \frac{\partial p}{\partial r} = 0 \quad (2.7)$$

поскольку окружное и радиальное напряжения определяются приведенной комбинацией радиального смещения в соответствии с законом Гука (1.9). Скорости смещения матрицы (песка или гравия) являются производной по времени от смещения:  $v = \dot{u}/dt$ .

**3. Инвариантное (автомодельное) решение задачи о нагнетании шлама.** Наиболее простая формулировка задачи соответствует автомодельному решению, которое сводится к некоторой системе обыкновенных дифференциальных уравнений. Для построения такого решения введем автомодельную переменную  $\xi$

$$\begin{aligned} \xi &= \frac{r}{\sqrt{\kappa t}}, \quad \frac{\partial}{\partial t} = -\frac{1}{2\sqrt{\kappa t}} \frac{d}{d\xi}, \quad \frac{\partial}{\partial r} = \frac{1}{\sqrt{\kappa t}} \frac{d}{d\xi} \\ \kappa &= \frac{k(K+G)}{\mu}, \quad w \sqrt{\frac{t}{\kappa}} = w^*, \quad v \sqrt{\frac{t}{\kappa}} = v^*, \quad \frac{u}{\sqrt{\kappa t}} = u^* \end{aligned} \quad (3.1)$$

В этом пространстве все границы оказываются фиксированными

$$\frac{a}{\sqrt{\kappa t}} = \xi_a, \quad \frac{b}{\sqrt{\kappa t}} = \xi_b, \quad \frac{c}{\sqrt{\kappa t}} = \xi_c \quad (3.2)$$

Выражение для  $v$  переписывается как

$$v^* = \sqrt{\frac{t}{\kappa}} \frac{\partial}{\partial t} (u^* \sqrt{\kappa t}) \quad (3.3)$$

что в автомодельных переменных означает [7, 8]

$$v^* = \frac{u^*}{2} - \frac{1}{2}\xi \frac{du^*}{d\xi} \quad (3.4)$$

Тогда все граничные условия становятся стационарными, хотя в реальном пространстве эти границы двигаются во внешнюю область со скоростями, обратно пропорциональными  $\sqrt{t}$ .

Следующие граничные условия по существу определяют интенсивность сингулярного источника в точке  $\xi = 0$

$$\begin{aligned} Q_f^* &= \frac{Q_f}{\kappa h} = -2\pi r w(r)m = -2\pi m \xi w^* \\ Q_s^* &= \frac{Q_s}{\kappa h} = -2\pi r v(r)(1-m) = -2\pi(1-m)\xi v^* \end{aligned} \quad (3.5)$$

Соответственно скорости обеих фаз имеют порядок  $O(1/\xi)$ . Это представление будем использовать при очень малом значении координаты  $\xi$ .

Шлам движется по пласту в компактном состоянии, критерием чему служит ненулевые эффективные напряжения при  $\xi > \xi_a$  (в супензии эти напряжения равны нулю, а силовое взаимодействие реализуется через давление в жидкости).

Фронт вытеснения определяется равенствами (2.2) поровых давлений, эффективных напряжений и расходов жидкости, а также условием вытеснения. В автомодельных переменных последние имеют вид

$$[m(w^* - \xi_b/2)] = 0, \quad v^* = \xi_b/2 \quad (3.6)$$

Второе условие (3.6) собственно и определяет положение указанного фронта.

Между фронтом вытеснения и шламом в жидком состоянии внутри каверны масса шлама сложена в компактную матрицу

$$m = m_s, \quad \xi_a < \xi < \xi_b \quad (3.7)$$

В интервале  $\xi_b < \xi < \xi_c$  выполняется система уравнений пластического течения

$$\frac{dv^*}{d\xi} + \frac{v^*}{\xi} = \Lambda \theta \left( \frac{dv^*}{d\xi} - \frac{v^*}{\xi} \right) \quad (3.8)$$

$$\frac{d\sigma^*}{d\xi} - \frac{(N-1)\sigma^* - Y^*}{\xi} - \frac{dp^*}{d\xi} = 0, \quad \frac{Y}{Y_0} = Y^* \quad (3.9)$$

а упругопластическая граница  $\xi = \xi_c$  определяется вступлением условия (1.6), причем скорости твердой фазы и продвижения границы здесь не равны

$$[(1-m)(v^* - \xi_c/2)] = 0 \quad (3.10)$$

При этом следует дополнительно учесть возможность скачкообразного изменения пористости. Оно должно быть связано с изменением сцепления. Например, если на упругопластической границе происходит дробление частиц (зерен) среды, она должна учитываться некоторой функцией  $m = m(\sigma)$  или даже в виде  $m^+ - m^- = \text{const}$ , т.е. с использованием значений пористости с разных сторон от этой границы.

Внешняя, упругая, зона контролируется иной формой уравнения равновесия и законом Гука [6]

$$\frac{d\sigma^*}{d\xi} + \frac{2G}{\xi Y_0} \left( \frac{du^*}{d\xi} - \frac{u^*}{\xi} \right) - \frac{dp^*}{d\xi} = 0 \quad (3.11)$$

$$\frac{dv^*}{d\xi} = -\frac{v^*}{\xi} \frac{\nu}{1-\nu} - \frac{1-2\nu}{1-\nu} \frac{Y_0}{G} \frac{\xi}{4} \left( \frac{d\sigma^*}{d\xi} - \epsilon \frac{dp^*}{d\xi} \right) \quad (3.12)$$

$$p^* = \frac{p}{Y_0}, \quad \sigma^* = \frac{\sigma_r}{Y_0}$$

где  $\nu$  – коэффициент Пуассона.

Эта система может быть упрощена, если фазовые плотности предполагаются постоянными, а сжимаемостью зерен пренебрегается. Тогда объем внедренного шлама определяется только упругими модулями матрицы и пластическим деформированием порового пространства части песчаного пласта.

Уравнения баланса (1.1)–(1.3) в автомодельных переменных принимают вид

$$\frac{\xi}{2} \frac{dm}{d\xi} = \frac{1}{\xi} \frac{d}{d\xi} (\xi m w^*) \quad (3.13)$$

$$\frac{\xi}{2} \frac{dm}{d\xi} + \frac{1}{\xi} \frac{d}{d\xi} (\xi (1-m) v^*) = 0 \quad (3.14)$$

$$m(w^* - v^*) = -\frac{Y_0}{K+G} \frac{dp^*}{d\xi} \quad (3.15)$$

При компьютерной реализации решения предполагаем, что условия на бесконечности могут быть выполнены на некотором достаточно большом радиусе  $R(t) \gg a(t), b(t), c(t)$ , который играет роль контура питания в стационарных случаях ( $R = \xi_R \sqrt{kt}$ ), причем

$$m_R = m_0, \quad p_R^* = p_0^*, \quad \sigma^* = -(P^* - p_0^*), \quad \xi = \xi_R \quad (3.16)$$

Соответствующая осесимметричная автомодельная задача решается далее численно. Шесть искомых величин  $p^*$ ,  $u^*$ ,  $v^*$ ,  $m^*$ ,  $w^*$ ,  $\sigma_r^*$  будут определены в ходе расчета. На каждом этапе проверяется условие (1.6).

**4. Исходные данные.** Вертикальное горное давление на глубине 1707 м песчаного пласта составляло 387 атм, что использовано для выбора пластических параметров – внутреннего трения и скорости дилатансии песка.

Горизонтальное эффективное горное давление:  $P = 221$  атм. Давление нагнетания<sup>1</sup>  $p_a = 303$ – $310$  атм на забое скважины (на устье 97 атм). Хотя скважины, вскрывающие песчаный пласт, имели наклон в  $30^\circ$  к вертикали, в расчетах они считались вертикальными.

Начальное поровое давление пласта, как и поровое давление на бесконечности, считалось гидростатическим (170 атм). Плотность нагнетаемого шлама составляла  $1.199$  г/см<sup>3</sup>.

<sup>1</sup> Наблюдавшиеся колебания расходов/давлений [1] при расчетах не учитывались. Их период составлял 30 дней, что означает определенную связь с твердотельными приливами, типичными для высоких широт (по мнению Ю.Н. Авсюка) и соответствующими изменениями проницаемости пласта.

Таблица 1

№	$P_c$ , МПа	$E$ , МПа	$\nu$	$G$ , МПа	$\tau_y$ , МПа	$\tau_f$ , МПа	$\alpha$	$Y$ , МПа	$\Lambda$
1	0	630	—	263	7.0	7.4	0.68	2.3	
2	2.6	1990	0.2	830	18.2	21.0	0.66	2.8	-0.76
3	5.1	3050	0.19	1280	27.3	32.2	0.44	10.6	-0.47
4	10.1	3710	0.17	1585	32.6	40.3	0.16	24.0	-0.28
5	17.8	4452	0.17	1900	38.5	49.7	0.02	31.0	-0.19

Расходы морской воды – при нагнетании шлама – составляли  $0.0477 \text{ м}^3/\text{с}$  (по другим оценкам, были в интервале  $0.0318\text{--}0.0556 \text{ м}^3/\text{с}$ ). При добавлении взвеси гравия интенсивность нагнетания оценивалась как  $0.064 \text{ м}^3/\text{с}$ . Пренебрежем разницей морской воды и пластовой, полагая их вязкость равной  $10^{-9} \text{ МПа} \cdot \text{с}$ .

Эффективная мощность песчаного пласта принималась  $h = 90 \text{ м}$  (хотя по другим оценкам она составляла 150 или даже 300 м). Он имел первоначально пористость  $m_0 = 30\%$  и проницаемость  $k_0 = 500 \text{ миллиардс} = 5 \cdot 10^{-13} \text{ м}^2$ . Будем относить это значение к упругой зоне песка. Для пластической зоны примем  $k = 9 \cdot 10^{-14} \text{ м}^2$ .

Начальная пористость в зоне шлама 0.24. Внутри пласта шлам упаковывается в пористую среду с первоначальными значениями пористости  $m_s = 24.3\%$  и проницаемости  $k_s = 13 \text{ миллиардс} = 1.3 \cdot 10^{-14} \text{ м}^2$ . Для простоты принималось, что  $k = k_s$ .

Конечно, в ходе процесса внедрения шлама в пласт их параметры будут меняться. Так, проницаемость песка уменьшается вплоть до значения до 90 миллиардс.

Изменения проницаемости учитывались по формуле Козени–Кармана

$$\frac{k_0}{k} = \frac{(1-m)^2 m_0^3}{m^3 (1-m_0)^2}$$

Начальное поровое давление было  $p_0 = 17 \text{ МПа}$ . Начальное радиальное напряжение  $\sigma_{r0} = -22 \text{ МПа}$ . Давление нагнетания было  $p_a = 30 \text{ МПа}$ , однако это значение получается из расчета, а потому не считается заданным.

Данные стандартных "трехосных" испытаний приведены в табл. 1. Отсутствие сведений изостатического сжатия не позволило исключить эффекты дробления, а потому скорость дилатансии получилась несколько завышенной. Заметим также, что обработка экспериментальных данных велась по условию (1.6), но здесь фигурируют осевое напряжение  $\sigma_a$  и радиальное (обжатия), равное  $P_c$  (сжимающие напряжения положительны, как это принято в горной механике)

$$\sigma_a - \sigma_r = \alpha(\sigma_r + \sigma_a) + Y(\sigma_r) \quad (4.1)$$

Таблица 1 представляет упругие параметры, соответствующие дифференциальным напряжениям  $\tau = \sigma_r - \sigma_0$  ниже предела пластичности песка  $\tau < \tau_y$  при давлении  $P_c$ . Упругое деформирование нелинейно, т.е. указанные модели следует понимать как деформационные (косвенно учитывающие допредельную пластичность [2, 3]). В связи с этим в расчетах были использованы их осредненные значения.

Обратим внимание, что дифференциальные напряжения разрушения (развала) испытанных образцов песка выше значений, реализуемых при его пластическом течении:  $\tau_f > \tau_y$ .

Значения скорости дилатансии отрицательны, что соответствует пластическому уплотнению песка (контрактации), за счет чего и было можно нагнетать шлам в пласт.

Таблица 2

№	Расход воды $Q_f, \text{м}^3/\text{с}$	Расход твердой фазы $Q_s, \text{м}^3/\text{с}$	Зона шлама $b = b/a$	Зона пластичности $c = c/R$
1	-0.0537	-0.0175	4.44	0.023
2	-0.0338	-0.0100	18.05	0.018

Таблица 3

№	Каверна $\xi_a = a/(\kappa t)^{1/2}$	Зона шлама $\xi_b = b/(\kappa t)^{1/2}$	Зона пластичности $\xi_c = c/(\kappa t)^{1/2}$
1	0.00117	0.0052	0.023
2	0.00022	0.0040	0.018

Данные табл. 1 были аппроксимированы зависимостями  $\sigma_r = P_c$

$$\alpha = 0.68 - 0.0077P_c; \quad Y = 2.3 + 0.1923P_c, \quad 0 < P_c < 2.6 \text{ МПа}$$

$$\alpha = 0.9419 - 0.1176P_c + 0.0037P_c^2, \quad Y = -8.077 + 4.393P_c - 0.1233P_c^2,$$

$$P_c > 2.6 \text{ МПа}$$

Во всем рассматриваемом интервале напряжений справедливы следующие выражения для модуля сдвига и скорости дилатансии (правильнее – контрактации)

$$G = 251.085 + 287.98P_c - 21.077P_c^2 + 0.5679P_c^3$$

$$\Lambda = -(9.941 - 1.114P_c + 0.0374P_c^2)$$

С ростом эффективного давления поверхность текучести песка плавно переходит от формы Кулона к форме Треска, а дилатационный эффект уменьшается. В то же время сцепление растет.

**5. Варианты расчета и результаты.** Переход от условия Кулона (зависящего от порового давления) к условию Треска ( $\tau = Y = 31 \text{ МПа} = \text{const}$ ) происходит в песке при окружном (обжимающем) напряжении  $\sigma_\theta = 18 \text{ МПа}$ .

Предполагается, что  $\Lambda = -0.7$ , хотя более низкие значения (большие по абсолютной величине) реализуются при  $\sigma_\theta < 18 \text{ МПа}$ . Подобный выбор обусловлен нестабильностью вычислений при  $\Lambda < -0.7$ . Поскольку при  $\sigma_\theta > 18 \text{ МПа}$  экспериментальных данных нет, положим, что здесь  $\Lambda = -0.01$ . Таким образом

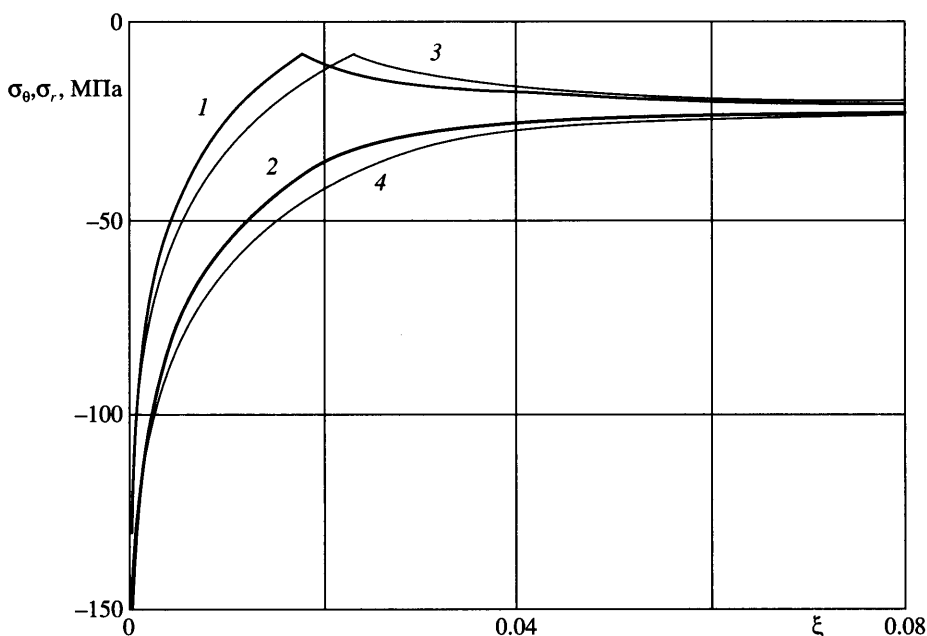
$$\Lambda = -0.7, \quad \sigma_\theta < 18 \text{ МПа}; \quad \Lambda = -0.01 \quad \sigma_\theta > 18 \text{ МПа}$$

В зоне шлама  $\Lambda = 0$  и применяется условие Треска:  $\sigma_\theta - \sigma_r = 31 \text{ МПа} = \text{const}$ .

Время релаксации оценивается как  $T = R^2/\kappa$ , причем  $\kappa = 2.07 \text{ м}^2/\text{с}$ . Контур питания задавался как  $R = \xi_R \sqrt{\kappa t}$ .

Система обыкновенных дифференциальных уравнений (3.8)–(3.16) решалась модифицированным методом предиктор – корректор Хаммингса.

Вычисления начинались с задания значений расходов на контуре питания  $Q_f(R)$ ,  $Q_s(R)$  и  $\xi_R$  (последний принимался равным 1). Если  $Q_f$  и  $Q_s$  оказывались не равными их



Фиг. 1. Зависимости окружных и радиальных напряжений от автомодельной переменной: 1, 2 – окружное и радиальное напряжения для варианта 2; 3, 4 – для варианта 1

заданным значениям при  $\xi = \xi_a$ , то значения  $Q_f(R)$ ,  $Q_s(R)$  и  $\xi_a$  изменились, и расчет повторялся.

Здесь приводятся результаты расчета для двух вариантов, приведенных в табл. 2. Они соответствуют указанным практическим сведениям.

Важный результат – скорость роста эффективного радиуса каверны (табл. 3). Для ориентации укажем такие цифры. Получилось, что за первый месяц радиус каверны достигает значения  $a = 2.73$  м в варианте 1 и  $a = 0.51$  м в варианте 2.

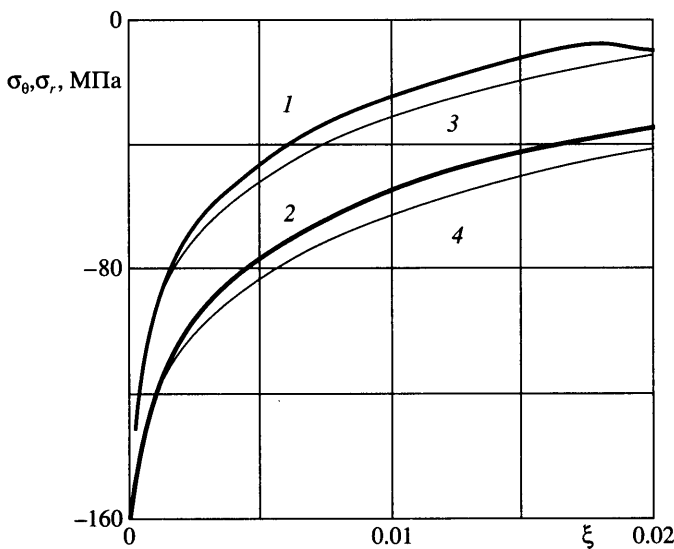
Приведем соответствующие оценки для продвижения шлама в пласт за первый месяц:  $b = 12.1$  м (вариант 1) и  $b = 9.2$  м (вариант 2) и фронта пластифициации в песчаном слое:  $c = 53.5$  м (вариант 1) и  $c = 41.4$  м (вариант 2).

На фиг. 1–5 представлены распределения по автомодельной переменной приведенных значений эффективных напряжений, порового давления, скоростей твердой и жидкой фаз.

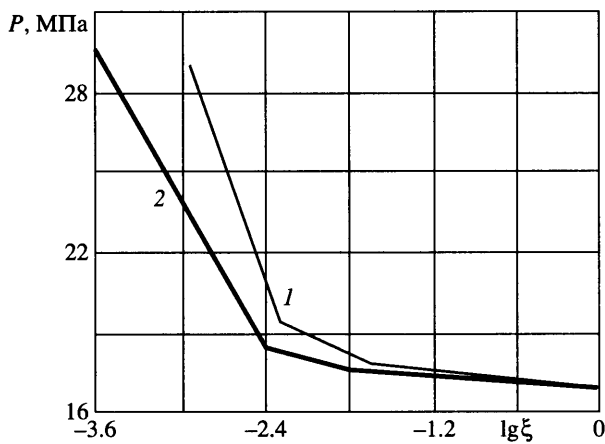
Из фиг. 1 и 2 (на последнем рисунке увеличен масштаб ближней зоны) видны монотонное изменение радиальных напряжений с расстоянием и немонотонное поведение окружных напряжений. Минимальные (по абсолютной величине) значения последних достигаются как раз на границе зоны пластифициации с упругой зоной. В зоне шлама реализуются особенно большие напряжения, что и предопределяет его компакцию в пластическую массу. Во всей области радиальные напряжения превосходят кольцевые. При увеличении расходов радиальные напряжения увеличиваются, а кольцевые возрастают в пластической области и убывают в упругой.

Профили порового давления (фиг. 3) кусочно-логарифмические, а его изломы соответствуют границам зоны шлама и песка и переходу к упругому состоянию.

Сложным оказывается распределение пористости по расстоянию (фиг. 4). В пластической зоне песчаного слоя наблюдается ее уменьшение за счет контрактации.



Фиг. 2. Зависимости окружных и радиальных напряжений от автомодельной переменной вблизи каверны: 1, 2 – окружное и радиальное напряжение для варианта 2; 3, 4 – для варианта 1

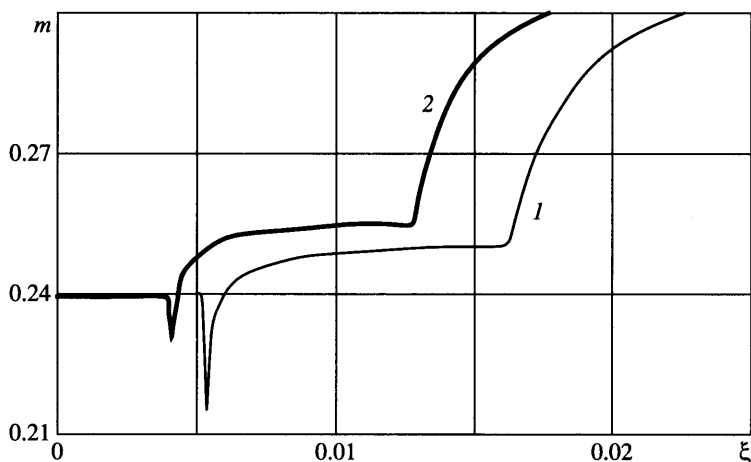


Фиг. 3. Зависимости порового давления от автомодельной переменной: 1, 2 – номинальные варианты

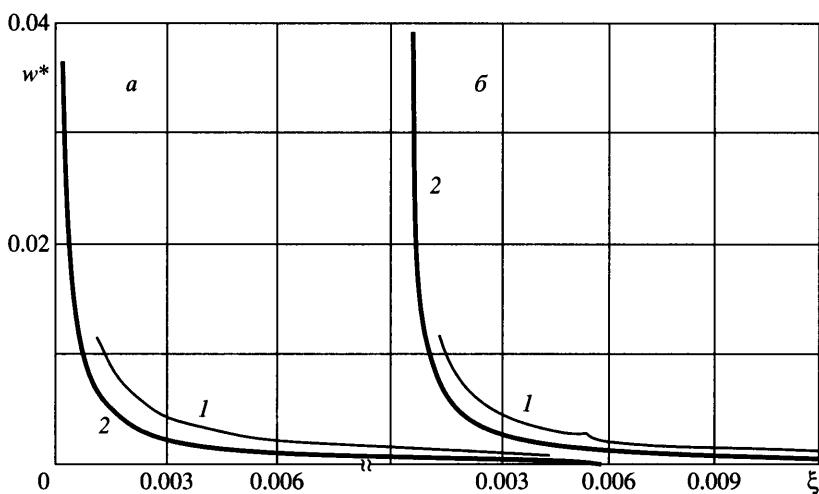
Максимальная степень уплотнения реализуется на границе шлам – песок. С увеличением расходов уплотнение интенсифицируется.

Кинематические (истинные) скорости твердой и жидкой фаз убывают с расстоянием монотонно (фиг. 5). Наиболее интенсивное изменение скоростей происходит в ближней зоне скважины нагнетания, занятой шламом.

**Заключение.** Нагнетание шлама можно моделировать математически. Однако неожиданно высокие эффективные напряжения, возникающие в пласте, требуют даль-



Фиг. 4. Зависимости пористости от автомодельной переменной: 1, 2 – номера вариантов



Фиг. 5. Зависимости приведенных скоростей движения фаз от автомодельной переменной: 1, 2 – номера вариантов

нейшего совершенствования схемы расчета. А именно следует учитывать и смещения горного массива, направленные к его свободной поверхности, что в принципе может привести к явлениям расслаивания в пласте и к снижению эффективного коэффициента пьезопроводности.

Гидроразрыв по радиусу пласта вряд ли возможен. Действительно, возникшие высокие окружные напряжения – в силу интенсивной дивергентности потока при внедрении твердой массы – оказываются сжимающими (если бы они были отрицательными, нагнетание шлама происходило бы и за счет возникновения вертикальных трещин в массиве шлама или песка, но это ставилось под сомнение в публикации [1]).

## СПИСОК ЛИТЕРАТУРЫ

1. Schmidt J.H., Friar W.I., Bill M.L., Cooper G.D. Large-scale injection of North Slope drilling cuttings // SPE 52738. Soc. Petrol. Engrs. 1999.
2. Николаевский В.Н. Механика пористых и трещиноватых сред. М.: Недра, 1984. С. 232. = Nikolaevskiy V.N. Mechanics of Porous and Fractured Media. Singapore: World Scientific, 1990. 472 p.
3. Николаевский В.Н. Геомеханика и флюидодинамика. С приложениями к проблемам газовых и нефтяных пластов. М.: Недра, 1996. С. 448. = Nikolaevskiy V.N. Geomechanics and Fluidodynamics. With applications to Reservoir Engineering. Dordrecht: Kluwer, 1996. 349 p.
4. Terzaghi K. Theoretical Soil Mechanics. N.Y.: Wiley, 1944. = Терцаги К. Теория механики грунтов. М.: Госстройиздат, 1961. 507 с.
5. Вонг Г.К., Капустянский С.М., Николаевский В.Н., Шляпоберский Я.В. Упругопластический расчет поврежденности призабойной зоны скважины // Изв. РАН. МТТ. 2002. № 1. С. 121–135.
6. Biot M.A. Theory of propagation of elastic waves in a fluid-saturated porous solids // J. Acoust. Soc. Amer. 1956. V. 28. № 2. P. 168–186.
7. Графутко С.Б., Николаевский В.Н. Задача о выносе песка в работающую скважину // Изв. РАН. МЖГ. 1998. № 5. С. 130–138.
8. Капустянский С.М., Николаевский В.Н. Автомодельная задача о выносе песка в скважину из пласта // ПММ. 2001. Т. 65. Вып. 5. С. 874–883.

Санкт-Петербург  
Москва  
Даллас

Поступила в редакцию  
22.IV.2002